

## 버섯의 Adenosinetriphosphatase(ATPase)에 관한 연구(II) —표고버섯(*Lentinus edodes*)중 정제 F<sub>1</sub>-ATPase의 금속이온 및 음이온 효과

민태진 · 박혜련

동국대학교 이과대학 화학과

## Studies on the Adenosinetriphosphatase in the Mushroom(II) —Effects of Metal ion and Anion of Purified F<sub>1</sub>-ATPase in *Lentinus edodes*(Berk) Sing

Tae-Jin Min and Hey-Lyoun Park

Department of Chemistry, Dongguk University, Seoul 100-715, Korea

**ABSTRACT:** Activities of the F<sub>1</sub>-ATPase purified from *Lentinus edodes* were stimulated by Fe<sup>3+</sup>, Fe<sup>2+</sup>, Cd<sup>2+</sup>, Mg<sup>2+</sup>, K<sup>+</sup> and Co<sup>2+</sup> but were inhibited by Zn<sup>2+</sup>, Ca<sup>2+</sup>, Cu<sup>2+</sup> and Ni<sup>2+</sup> ion. The enzyme activities were increased 130, 65, 65, 68, 105% and 23% by the 5 mM Fe<sup>3+</sup>, 10 mM Fe<sup>2+</sup>, 1 mM Cd<sup>2+</sup>, 5 mM Mg<sup>2+</sup>, 5 mM K<sup>+</sup> and 5 mM Co<sup>2+</sup> ion addition, respectively, as compared with those not added. The enzyme activities were decreased 18, 19, 27 and 30% by 10 mM Zn<sup>2+</sup>, 10 mM Ca<sup>2+</sup>, 0.5 mM Cu<sup>2+</sup> and 10 mM Ni<sup>2+</sup> ion, respectively. Anion effects of 10 mM CO<sub>3</sub><sup>2-</sup>, 20 mM CN<sup>-</sup>, 20 mM CH<sub>3</sub>COO<sup>-</sup> and 20 mM NO<sub>3</sub><sup>-</sup> ion were inhibited to the enzyme activities of 98, 95, 70 and 50%, respectively. As increasing of SO<sub>4</sub><sup>2-</sup> ion concentration, the enzyme activity was stimulated and 20 mM SO<sub>4</sub><sup>2-</sup> ion was shown increased of 21%.

**KEYWORDS:** Effect of ions, purified ATPase, *Lentinus edodes*(Berk) Sing

ATPase(EC 3.6.1.3)은 F<sub>1</sub>-group과 F<sub>0</sub>-Group으로 된 단배질 복합체와 인지질 복합체로 연결(Racker, 1976)되어 있는 효소이다. 친수성 F<sub>1</sub>-group은 ATP를 ADP와 Pi로 분해시키는 기능(Kielly, 1955)을 하기 때문에 F<sub>1</sub>-ATPase 또는 ATPase라 하고, 소수성 F<sub>0</sub>-group에 F<sub>1</sub>-group이 결합된 F<sub>0</sub>F<sub>1</sub>-ATPase는 ADP와 Pi로부터 ATP를 생성하는 기능(Okamoto et al., 1977; Senior, 1988)을 하기 때문에 ATP Synthase라고도 한다.

이 효소는 미토콘드리아 내막(Kielly and Kielly, 1953), 엽록체의 thylakoid 및 plasma membrane (Leonard and Van Der Woude, 1976) 등에 존재하고, H<sup>+</sup>유통을 매개하는 역할(Walker, 1984; Hoppe et al., 1984; Schneider et al., 1984)을 하는 것으로 보고되어 있다.

이는 Mg<sup>2+</sup>-ATPase(Gilmour et al., 1952; Hoges,

1973), Ca<sup>2+</sup>-ATPase, Ca<sup>2+</sup>, Mg<sup>2+</sup>-ATPase(Munkonge, 1988; Ribreiro and Vianna, 1973), K<sup>+</sup>-ATPase(Leonard and Van Der Woude, 1976) 및 Na<sup>+</sup>, K<sup>+</sup>-ATPase(Pedenmonte et al., 1988; Tamura et al., 1988; Fahn et al., 1968) 등 그 이온펌프에 대한 mechanism과 관련된 것으로 보고 되어 있다.

앞서 표고버섯 및 느타리버섯 중 광 감응성 mitochondrial ATPase(F<sub>1</sub>-ATPase)의 효소적 특성(Min et al., 1987a, 1987b, Lee and Min, 1989a)과 빛에 의하여 활성화 되는 표고버섯 중 mitochondrial ATP Synthase의 빛을 흡광하는 물질이 Flavin계 화합물임을 보고(Park and Min, 1989, 1991)한 바 있다.

본 연구에서는 광 감응성 mitochondrial ATPase와 순수히 분리 정제된 ATPase의 효소적 특성을 비교 검토하기 위하여, 표고버섯 중 ATPase를 순수히 분리 정제하여 금속이온 및 음이온들의 효

과를 실험하였기에 이에 보고한다.

## 材料 및 方法

### 시약

경기도 광릉에서 채취한 자연산 표고버섯(*L. edodes*)을 사용하였고, adenosine-5'-triphosphate(ATP), 2(N-morpholino)ethanesulfonic acid (MES), bovine plasma albumin(BA) 및 sephadex G-200 등은 Sigma 제품을 사용하였으며, ammonium molybdate(AM), 1-amino-2-naphtol-4-sulfonic acid(ANSA), trichloroacetic acid(TCA), Coomassie brilliant blue R-250(CBB R-250), Coomassie brilliant blue G-250(CBB G-250) 및 tris(hydroxymethyl)aminoethane(Tris)은 Merck제품을, 그리고 금속이온 효과 실험에서 사용한 시약은 금속의 염화물을, 음이온 효과에서는 음이온의 나트륨염을 사용하였으며, 이들을 포함한 그 외의 시약은 Wako 특급시약을 사용하여 실험하였다.

### ATPase의 분리정체

Leonard 등(1976)의 방법을 인용 변형하여 Min 등이 보고한 (I)보에서와 같은 방법으로 분리 정제하여, 정제 확인된 시료를 사용하여 실험하였다.

### ATPase의 활성도 측정

Rorive 등(1972)의 방법을 인용 변형하여 Min 등(1987a)의 방법으로 다음과 같이 실험하였다. 효소용액 0.1 mL에 농도별 각 금속 이온을 각각 가하여 37°C에서 10분간 반응시킨 후 0.2 M Tris-MES 완충용액(최적 pH 7.6)과 15 mM ATP수용액 0.25 mL를 각각 가하여 최종 부피를 1 mL로 만든 다음 온도 37°C에서 정확히 10분동안 반응시킨 후 10% TCA 수용액 2 mL를 가하여 반응을 정지시키고, Syringe여과(pore size 0.45 μm, Millipore Co.)하여 침전물을 제거한 여액 2.5 mL에 2.5% AM 용액 2 mL, 0.25% ANSA 용액 0.4 mL와 같은 완충용액 5.1 mL를 가하여 30분 동안 발색시켜 660 nm에서 흡광도를 측정한 후 Pi 검량곡선에 의하여 생성된 Pi를 정량하였다. 단백질 정량은 Bradford 법(1976)에 따라 정량하였다. 효소의 활성도 단위는 최적 온도하에서 매 분당 효소 단백질 1 mg<sup>-1</sup> 1 μg의 Pi를 유리시키는 양을 1단위로 하였다.

### 금속이온 효과

금속이온 효과는 Fe<sup>2+</sup>, Fe<sup>3+</sup>, K<sup>+</sup>, Cd<sup>2+</sup>, Mg<sup>2+</sup>, Na<sup>+</sup>, Co<sup>2+</sup>, Ni<sup>2+</sup>, Ca<sup>2+</sup> 및 Zn<sup>2+</sup>이온의 염화물의 농도 별 수용액을 효소용액 0.1 mL에 각각 가하여 37°C에서 10분 동안 반응 시킨 후 Rorive 등(1972)의 방법을 인용하여 Min 등(1987a)의 방법으로 활성도를 측정하였다.

### 음이온 효과

음이온 효과는 SO<sub>4</sub><sup>2-</sup>, NO<sub>3</sub><sup>-</sup>, CH<sub>3</sub>COO<sup>-</sup>, CN<sup>-</sup> 및 CO<sub>3</sub><sup>2-</sup>의 나트륨 염의 각 농도별 수용액을 만든 다음, 이를 효소용액 0.1 mL에 각각 가하여 실온에서 10분동안 반응시킨 후 Rorive 등(1972)의 방법을 인용하여 Min 등(1987b)의 방법으로 활성도를 측정하였다.

## 결과 및考察

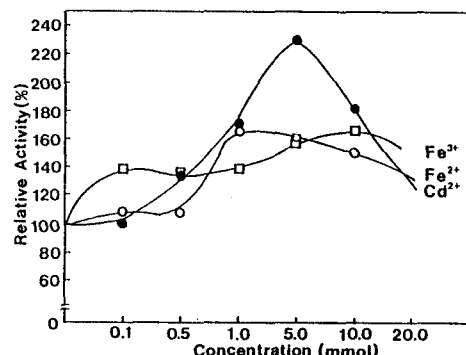
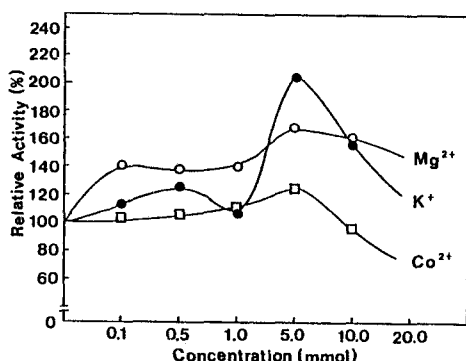
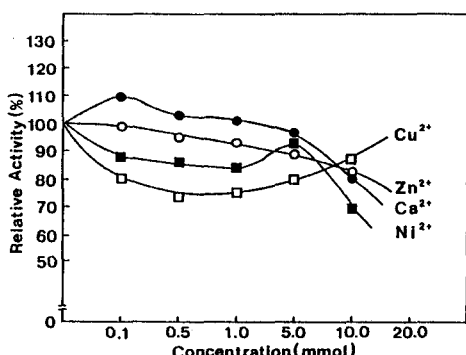
### 금속이온 효과

금속이온에 의한 이 효소의 활성도 변화를 측정한 결과는 Table 1에 나타내었으며, 이들의 농도 변화에 따른 효소 활성도는 Fig. 2 및 Fig. 3에 나타내었다. Fig. 1과 같이 Fe<sup>3+</sup>의 농도증가에 따라 ATPase의 활성도가 크게 증가하였고, 5.0 mM일 때에 130% 활성도 증가를 보이다가, 그 이상의 농도에서는 감소하는 경향을 보였다. Fe<sup>2+</sup> 이온 효과는 0.1 mM에서는 40%, 10 mM에서는 65% 활성도 증가를 보였고, 20 mM에서는 오히려 78%의 억제효과를 보였다. 그리고 Cd<sup>2+</sup> 이온효과는 0.5 mM 이하의 농도에서는 그 영향이 없었고, 1.0 mM일 때 65%의 활성도 증가를 보이다가, 그 이상의 농도에서는 감소하는 경향을 보였다. Fig. 2에서와 같이 Mg<sup>2+</sup>이온효과는 0.1 mM에서 43%, 5.0 mM에서 68%로 농도증가에 따라 활성도 증가를 보였으며, 그 이상의 농도에서는 감소하였다. 그리고 K<sup>+</sup> 및 Co<sup>2+</sup> 이온은 다같이 0.1 mM에서 5 mM까지 농도증가에 따라 활성화하는 경향을 보여 5 mM에서 각각 105% 및 23%의 활성도 증가를 보였고, 그 이상의 농도에서는 감소하였다.

Fig. 3에서 Zn<sup>2+</sup>, Cu<sup>2+</sup> 및 Ni<sup>2+</sup> 이온은 다같이, 이 효소의 활성을 억제하였으나, Zn<sup>2+</sup> 및 Ni<sup>2+</sup> 이온은 10.0 mM에서, Cu<sup>2+</sup>이온은 1.0 mM에서 각각 이 효소의 반응을 가장 크게 억제하였다. 그리고 Ca<sup>2+</sup> 이온은 0.1 mM에서는 10% 정도 활성화되었으나

**Table I.** Effects of cation of ATPase

Cation	Concentration (m $\mu$ )	Relative activity (%)
None		100
$\text{Fe}^{3+}$	0.1	98
	0.5	134
	1.0	170
	5.0	230
	10.0	181
$\text{Fe}^{2+}$	0.1	140
	0.5	138
	1.0	138
	5.0	157
	10.0	165
$\text{Cd}^{2+}$	0.1	109
	0.5	106
	1.0	165
	5.0	160
	10.0	150
$\text{Mg}^{2+}$	0.1	143
	0.5	140
	1.0	140
	5.0	168
	10.0	160
$\text{K}^+$	0.1	110
	0.5	125
	1.0	107
	5.0	205
	10.0	155
$\text{Co}^{2+}$	0.1	102
	0.5	106
	1.0	109
	5.0	123
	10.0	95
$\text{Zn}^{2+}$	0.1	98
	0.5	95
	1.0	93
	5.0	89
	10.0	82
$\text{Ca}^{2+}$	0.1	110
	0.5	103
	1.0	101
	5.0	97
	10.0	81
$\text{Cu}^{2+}$	0.1	80
	0.5	73
	1.0	75
	5.0	80
	10.0	87
$\text{Cu}^{2+}$	0.1	80
	0.5	73
	1.0	75
	5.0	80
	10.0	87
$\text{Ni}^{2+}$	0.1	88
	0.5	86
	1.0	84
	5.0	93
	10.0	70

**Fig. 1.** Effects of  $\text{Fe}^{3+}$ ,  $\text{Fe}^{2+}$  and  $\text{Cd}^{2+}$  ion of ATPase.**Fig. 2.** Effects of  $\text{Mg}^{2+}$ ,  $\text{K}^+$  and  $\text{Co}^{2+}$  ion of ATPase.**Fig. 3.** Effects of  $\text{Zn}^{2+}$ ,  $\text{Ni}^{2+}$ ,  $\text{Ca}^{2+}$  and  $\text{Cu}^{2+}$  ion of ATPase.

그 농도증가에 따라 이 효소의 활성을 억제하였다. 이상의 결과는 신관 적혈구막 중의 ATPase가  $\text{Mg}^{2+}$  및  $\text{Ca}^{2+}$  이온에 의하여 활성화된다는 보고 (Rorive and Kleinzeller, 1972)가 있으나, 표고버섯 중의 ATPase가  $\text{Ca}^{2+}$  이온농도 증가에 따라 활성도가 감소하는 경향을 보인 것과는 상이하였다. 또한

Table II. Effects of Anion of ATPase

Anion	Concentration (mμ)	Relativeactivity (%)
None		100
CO <sub>3</sub> <sup>2-</sup>	1.0	44
	3.0	20
	5.0	7
	10.0	2
	20.0	2
CN <sup>1-</sup>	1.0	64
	3.0	32
	5.0	18
	10.0	7
	20.0	5
CH <sub>3</sub> COO <sup>-</sup>	1.0	98
	3.0	66
	5.0	49
	10.0	35
	20.0	30
NO <sub>3</sub> <sup>-</sup>	1.0	105
	3.0	92
	5.0	79
	10.0	55
	20.0	50
SO <sub>4</sub> <sup>2-</sup>	1.0	104
	3.0	106
	5.0	108
	10.0	110
	20.0	121

Syrian hamster 지방조직의 mitochondrial ATPase에서 Mg<sup>2+</sup>, Co<sup>2+</sup> 및 Cd<sup>2+</sup> 이온에 의하여 그 활성이 촉진(Pennington, 1961; Houstek and Drahotka, 1977)된 결과와는 유사하였다. 그리고 *E. coli* 중 ATPase는 Mg<sup>2+</sup>, Co<sup>2+</sup> 이온에 의하여 활성화되지만, Cu<sup>2+</sup> 및 Ni<sup>2+</sup>에 의하여는 영향을 받지 않는 것으로 보고(Kanner, et al., 1975)되어 있으나, 본 실험결과에서 Cu<sup>2+</sup> 및 Ni<sup>2+</sup> 이온이 이 효소의 활성을 억제시킨 결과와는 서로 상이하였다.

본 연구실에서 앞서 보고한 표고버섯 및 느타리 버섯 중 광 감응성 mitochondrial ATPase(Min et

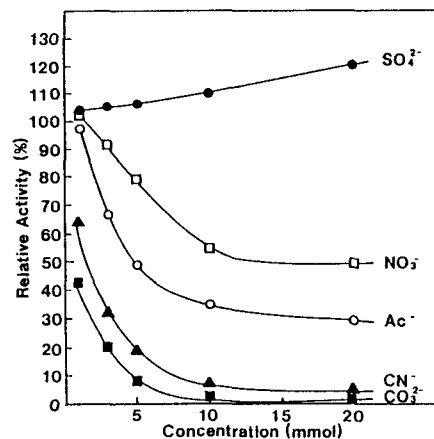


Fig. 4. Effects of each anion of ATPase.

al., 1987a; Lee and Min, 1989a)의 Fe<sup>3+</sup> 및 Fe<sup>2+</sup> 이온효과와 본 실험의 결과와는 활성화 차이는 있으나 같은 경향을 보였다. 그러나 두 이온이 cofactor로 작용하였는지 또는 전자전달계에 관련된 산화환원계에 작용하여 활성화되는지를 구명하기 위한 연구가 필요하며, 현재 진행 중이다. 그리고 Mg<sup>2+</sup> 이온효과에서, 이상의 2개 버섯 중 mitochondrial ATPase의 경우(Min et al., 1987a; Lee and Min, 1989a)에는 0.1 mM에서 최고 활성도 증가를 보이다가 그 이상의 농도에서는 감소하였으나, 본 실험에서는 0.1 mM에서 5.0 mM까지 농도증가에 따라 증가하고, 5.0 mM에서 68%로서 가장 큰 활성도 증가를 보인 결과와는 상이하였다. 이는 순수히 정제된 ATPase와의 차이점으로 사려된다.

#### 음이온 효과

이 효소의 음이온 효과는 Table 2 및 Fig. 4와 같다. Fig. 4에서와 같이 표고버섯 중에서 순수히 정제된 ATPase는 5 mM CO<sub>3</sub><sup>2-</sup> 이온에 의하여 93%, 5 mM CN<sup>-</sup>, 5 mM CH<sub>3</sub>COO<sup>-</sup> 및 5 mM NO<sub>3</sub><sup>-</sup> 이온에 의하여 각각 82, 51 및 21%의 활성도가 억제되었다. 그리고 이 효소는 SO<sub>4</sub><sup>2-</sup> 이온의 농도가 증가함에 따라 그 활성도가 증가하는 경향을 보여, 20 mM에서 20%의 활성도를 증가시켰다. 이 결과는 소심장 중 mitochondrial ATPase(Penefsky and Warner, 1965)의 활성이 I<sup>-</sup>>NO<sub>3</sub><sup>-</sup>>Br<sup>-</sup>>Cl<sup>-</sup>>SO<sub>4</sub><sup>2-</sup>>CH<sub>3</sub>COO<sup>-</sup> 이온 순으로 억제도가 감소된다는 보고와는 상이하였다. 이는 버섯중 ATPase의

성질차이로 사려된다.

## 概要

- 표고버섯 중 정제된 ATPase는  $\text{Fe}^{3+}$ ,  $\text{Fe}^{2+}$ ,  $\text{Cd}^{2+}$ ,  $\text{Mg}^{2+}$ ,  $\text{K}^+$  및  $\text{Co}^{2+}$  이온에 의하여 활성화되었으나  $\text{Zn}^{2+}$ ,  $\text{Ca}^{2+}$ ,  $\text{Cu}^{2+}$  및  $\text{Ni}^{2+}$  이온에 의하여는 그 활성도가 억제되었다.
- 5 mM  $\text{Fe}^{3+}$ , 10 mM  $\text{Fe}^{2+}$ , 1 mM  $\text{Cd}^{2+}$ , 5 mM  $\text{Mg}^{2+}$ , 5 mM  $\text{K}^+$  및 5 mM  $\text{Co}^{2+}$  이온은 이효소의 활성을 각각 130, 65, 65, 68, 105 및 23% 증가시켰다.
- 10 mM  $\text{Zn}^{2+}$ , 10 mM  $\text{Ca}^{2+}$ , 0.5 mM  $\text{Cu}^{2+}$  그리고 10 mM  $\text{Ni}^{2+}$  이온은 이효소의 활성을 각각 18, 19, 27% 그리고 30%의 억제효과를 보였다.
- 10 mM  $\text{CO}_3^{2-}$ , 20 mM  $\text{CN}^-$ , 20 mM  $\text{CH}_3\text{COO}^-$  그리고 20 mM  $\text{NO}_3^-$ 의 음이온은 이효소의 활성을 각각 98, 95, 70% 그리고 50%를 억제시켰으나,  $\text{SO}_4^{2-}$  이온은 농도증가에 따라 활성화되었고, 20 mM 용액에서 21%로 활성도 증가의 최대치를 보였다.

## 감사의 말씀

본 연구는 1986년도 한국과학재단 연구비(862-0380-009-2)로 수행되었으며 이에 감사하는 바이다.

## References

- Bradford, M. M. (1976): A rapid and sensitive method for the quantitation of microgram quantities of protein utilizing the principle of protein-dye binding. *Anal. Biochem.* **72**: 248-254.
- Fahn, S., Koval, G. J. and Albers, R. W. (1968): Sodium-potassium activated ATPase of electrophorus electric organ. *J. Biol. Chem.* **243**: 1993-2002.
- Gilmour, D. and Calaby, J. H. (1952): Purification of ATPase from insect muscle. *Arch. Biochem. Biophys.* **41**: 83-91.
- Hoges, C. J. (1973): Membrane-bound adenosine-5'-triphosphatase activities of oat roots. *Plant Physiol.* **51**: 749.
- Hoppe, J. H. and Sebald, W. (1984): The proton conducting  $F_0$ -Part of bacterial ATP synthase. *Biochim. Biophys. Acta* **768**: 1-27.
- Houstek, J. and Drahota, Z. (1977): Purification and properties of mitochondrial ATPase of hamster brown adipose tissue; *Biochem. Biophys. Acta* **484**: Jr. J. G., Hudecki, M. S. (1988): Abnormal response to calmodulin *in vitro* of dystrophic chicken muscle membrane  $\text{Ca}^{2+}$ -ATPase activity. *Biochem.* **27**: 7619.
- Kielly, W. W. (1955): Mitochondrial ATPase. *Methods Enzymol.* **2**: 593-598.
- Kielly, W. W. and Kielly, R. K. (1953): A specific adenosine triphosphatase of liver mitochondria. *J. Biol. Chem.* **200**: 213-219.
- Konner, B. I., Nelson, N. and Gutnick, D. L. (1975): *Biochim. Biophys. Acta* **396**: 346.
- Lee, K. D. and Min, T. J. (1989a): Studies on the light-induced mitochondrial ATPase in *pleurotus ostreatus*; *Kor. J. Mycol.* **17**(4), 169-176.
- Leonard, R. T. and Van Der Woude, W. J. (1976): Isolation of plasma membranes from corn roots by sucrose density gradient centrifugation. *Plant Physiol.* **57**: 105-114.
- Min, T. J., Cho, S. W. and Kim, Y. S. (1987b): Effects of organic compound and metal ion influx of light-induced mitochondrial ATPase in the *Lentinus edodes* (Berk) Sing; *Kor. J. Mycol.* **15**(4): 224-230.
- Min, T. J. and Park, H. L. (1991): Studies on the ATPase in the mushroom(I) purification and properties of ATPase in *Lentinus edodes*; *Kor. J. Mycol.* **19**(3).
- Min, T. J., Cho, S. W. and Park, S. S. (1987a): Light-Induced mitochondrial ATPase in the *L. edodes* (Berk) Sing. *Kor. J. Mycol.* **15**(4): 217-223.
- Munkonge, F., Michelangeli, F. (1988): Effects of phospholipid protein ratio on the state of aggregation of the  $\text{Ca}^{2+}$ ,  $\text{Mg}^{2+}$ -ATPase, *Biochem.* **27**: 6800.
- Okamoto, H., Sone, H., Hirata, H. and Kagawa, Y. (1977): Purified proton conductor in proton translocating ATPase a thermophilic bacterium. *J. Biol. Chem.* **252**: 6125-6131.
- Park, S. S. and Min, T. J. (1989): Effects of FAD and  $\text{FADH}_2$  on light-induced mitochondrial ATPase and ATP synthase in *Lentinus edodes*; *Kor. J. Mycol.* **17**(3): 161-168.
- Park, S. S. and Min, T. J. (1991): Studies on the photoreceptor of the light-induced mitochondrial ATPase in *Lentinus edodes*; *Korean Biochem. J.* **24**(1): 26-34.
- Pedenmonte, C. H. and Koplan, J. H. (1988): Inhibition derivatization of the renal  $\text{Na}^+$ ,  $\text{K}^+$ -ATPase by dihydro-4,4-diisothiocyanato-stilbene-2,2'-disulfonate.

*Biochem.* **27:** 7966.

- Penefsky, H. S. and Warner, R. C. (1965): Partial resolution of the enzymes catalyzing oxidative phosphorylation; *J. Biol. Chem.* **240:** 4694-4699.
- Racker, E. (1976): The possible organization of the polypeptides of F<sub>0</sub> · F<sub>1</sub>-ATPase. *Trends Biochem. Sci.* **1:** 244-255.
- Ribeiro, J. M. C. and Vianna, A. L. (1973): Allosteric modification by K<sup>+</sup> of the (Ca<sup>2+</sup> + Mg<sup>2+</sup>) dependent ATPase of *Sarcoplasmic reticulum*. *J. Biol. Chem.* **253,** 3153.
- Rorive, G. and Kleinzeller, A. (1972): The effect of ATP and Ca<sup>2+</sup> on the cell volume in isolated kidney tubles; *Biochem. Biophys. Acta.* **274:** 226.

Schneider, E. and Altendorf, K. (1984): The proton-translocating of proton (F<sub>0</sub>) of the *Escherichia coli*. *Trends Biochem. Sci.* **9:** 51-53.

Senior, A. E. (1988): ATP synthase by oxidative phosphorylation. *Physiol. Rev.* **68,** 177-231.

Tamura, M., Lam, T. T. and Inagami, T. (1988): Isolation and characterization of a specific endogenous Na<sup>+</sup>, K<sup>+</sup>-ATPase inhibitor from bovine adrenal. *Biochem.* **27:** 4244.

Walker, J. E. (1984): Nucleotide sequence, regulation and structure of ATP synthase, *Biochem. Biophys. Acta.* **768:** 164-200.

Accepted for Publication September 13, 1991